

# Уравнения математической физики

## Уравнение переноса

Скалько Юрий Иванович  
**Цыбулин Иван**  
Шевченко Александр

Основное отличие УМФ от обыкновенных дифференциальных уравнений — зависимость неизвестной функции от многих переменных. В результате, в уравнениях возникают *частные производные*.

Рассмотрим одномерные нестационарные уравнения гиперболического типа:

- Уравнение переноса
- Волновое уравнение
- Гиперболические системы уравнений

# Уравнения математической физики

## Гиперболические системы уравнений

- Гиперболические системы уравнений

$$\frac{\partial \mathbf{u}(t, x)}{\partial t} + \mathbf{A} \frac{\partial \mathbf{u}(t, x)}{\partial x} = \mathbf{f}, \quad \mathbf{u} = \begin{pmatrix} u_1 \\ \vdots \\ u_n \end{pmatrix}, \quad \mathbf{A} = \begin{pmatrix} a_{11} & \dots & a_{1n} \\ \vdots & \ddots & \vdots \\ a_{n1} & \dots & a_{nn} \end{pmatrix}$$

Для гиперболичности требуется, чтобы все собственные числа  $\lambda(\mathbf{A})$  были действительными и существовал базис из собственных векторов

# Уравнения математической физики

## Уравнение переноса и волновое уравнение

- Уравнение переноса

$$\frac{\partial \rho(t, x)}{\partial t} + c \frac{\partial \rho(t, x)}{\partial x} = f$$

Уравнение описывает перенос некоторой величины (например, плотности  $\rho(t, x)$ ) со скоростью  $c$ .

- Волновое уравнение

$$\frac{\partial^2 E(t, x)}{\partial t^2} - c^2 \frac{\partial^2 E(t, x)}{\partial x^2} = f$$

Уравнение описывает распространение линейных волн (например, электрического поля  $E(t, x)$ ) по среде со скоростью  $c$  по всем направлениям.

## Волновое уравнение

Волновое уравнение

$$\frac{\partial^2 E(t, x)}{\partial t^2} - c^2 \frac{\partial^2 E(t, x)}{\partial x^2} = f$$

легко привести к виду гиперболической системы в переменных  $u = \frac{\partial E}{\partial x}$ ,  $v = \frac{\partial E}{\partial t}$ :

$$\begin{aligned}\frac{\partial v}{\partial t} - c^2 \frac{\partial u}{\partial x} &= f \\ \frac{\partial u}{\partial t} - \frac{\partial v}{\partial x} &= 0\end{aligned}$$

Или в матричном виде

$$\frac{\partial}{\partial t} \begin{pmatrix} u \\ v \end{pmatrix} + \begin{pmatrix} 0 & -c^2 \\ -1 & 0 \end{pmatrix} \frac{\partial}{\partial x} \begin{pmatrix} u \\ v \end{pmatrix} = \begin{pmatrix} f \\ 0 \end{pmatrix}$$

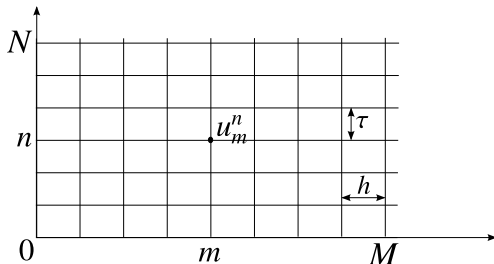
Легко убедиться, что  $\lambda(\mathbf{A}) = \pm c$  и полная система векторов имеется.

# Численное решение УМФ

## Сетка

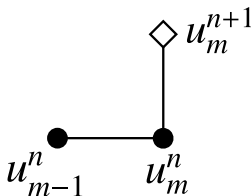
Для представления численного решения так же, как и в случае ОДУ, необходима *сетка*. Отличие от ОДУ в том, что сетка уже не одномерная, а многомерная. Например, для уравнения в переменных  $(t, x)$  необходима двумерная сетка (по времени и пространству)

Соответственно, сеточная функция будет иметь несколько индексов. Условимся  $u_m^n$  обозначать значение сеточной функции  $u$  на временном слое  $n$  в пространственной точке  $m$



Пусть для вычисления  $u_m^{n+1}$  требуются значения функции  $u$  в нескольких сеточных узлах. Тогда эти узлы вместе с узлом  $(n+1, m)$  образуют *шаблон разностной схемы*.

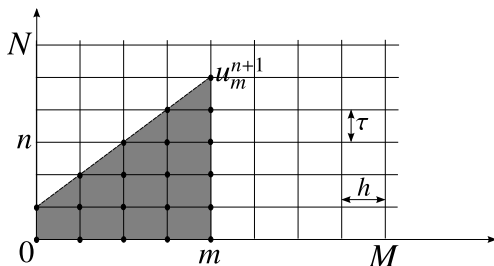
Шаблон часто изображают графически, например для схемы «явный левый уголок» шаблон выглядит так:



Некоторые выводы о разностной схеме можно сделать изучив только ее шаблон

## Область зависимости решения разностной задачи

Выберем узел сетки  $(n + 1, m)$ . Отметим все узлы сетки, которые нужны для вычисления  $u_m^{n+1}$ . Мы получим шаблон разностной схемы. К каждому новому узлу снова применим ту же процедуру. В результате получится некоторый конус — *область зависимости решения разностной задачи*



Все узлы, которые не попали в этот конус не могут влиять на решение в узле  $(n + 1, m)$



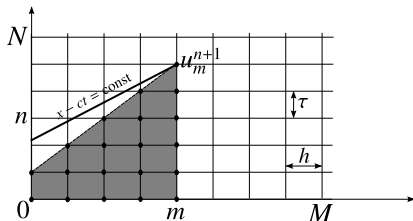
# Численное решение УМФ

## Область зависимости решения дифф. задачи

Все уравнения гиперболического типа имеют характеристики.  
Если из точки  $t_{n+1}, x_m$  выпустить все характеристики, то область от самой левой до самой правой характеристики будет *областью зависимости решения дифференциальной задачи*  
Например, уравнение переноса

$$\frac{\partial u}{\partial t} + c \frac{\partial u}{\partial x} = 0$$

имеет только одну характеристику  $x - ct = \text{const}$ . Область зависимости в этом случае — луч  $x - ct = x_m - ct_{n+1}, t < t_{n+1}$



Если область зависимости решения дифференциальной задачи не содержится целиком в области зависимости решения разностной задачи, то решение разностной задачи не может сходиться к решению дифференциальной.

Действительно, изменим решение в той части области, которая лежит в области зависимости дифференциальной задачи, но которая не лежит в области зависимости разностной задачи. Решение разностной задачи при этом не изменится, а дифференциальной - изменится. Такое поведение не зависит от выбора мелкости сетки (при условии сохранения пропорций между  $\tau$  и  $h$ ), следовательно сходимость не возможна.

## Аппроксимация

Изучение аппроксимации, как и для ОДУ, производится при помощи подстановки в разностную задачу проекции точного решения  $y(t, x)$

$$u_m^n = [y]_m^n$$

При этом в разностном уравнении появится невязка  $\delta_m^n$ . Невязка вычисляется путем подстановки вместо  $[y]_{m'}^{n'}$  разложения в ряд Тейлора относительно некоторой точки  $(t_n, x_m)$ .

Поскольку разложение в ряд Тейлора производится уже функции многих переменных, желательно выписывать разложение в ряд Тейлора относительно точки на пересечении линий шаблона, при этом из ряда Тейлора исчезают смешанные производные.

# Численное решение УМФ

## Некоторые схемы для уравнения переноса

- Явный левый уголок

$$\frac{u_m^{n+1} - u_m^n}{\tau} + c \frac{u_m^n - u_{m-1}^n}{h} = f_m^n$$

- Явный правый уголок

$$\frac{u_m^{n+1} - u_m^n}{\tau} + c \frac{u_{m+1}^n - u_m^n}{h} = f_m^n$$

- Схема с центральной разностью

$$\frac{u_m^{n+1} - u_m^n}{\tau} + c \frac{u_{m+1}^n - u_{m-1}^n}{2h} = f_m^n$$

- Схема Лакса

$$\frac{u_m^{n+1} - \frac{1}{2} (u_{m-1}^n + u_{m+1}^n)}{\tau} + c \frac{u_{m+1}^n - u_{m-1}^n}{2h} = f_m^n$$

Подставим разложения

$$[y]_m^{n+1} = [y]_m^n + \tau[y_t]_m^n + \frac{\tau^2}{2}[y_{tt}]_m^n + O(\tau^3)$$

$$[y]_{m\pm 1}^n = [y]_m^n \pm h[y_x]_m^n + \frac{h^2}{2}[y_{xx}]_m^n \pm \frac{h^3}{6}[y_{xxx}]_m^n + \frac{h^4}{24}[y_{xxxx}]_m^n + O(h^5)$$

в схему явный левый уголок

$$[y_t]_m^n + \frac{\tau}{2}[y_{tt}]_m^n + O(\tau^2) + c \left( [y_x]_m^n - \frac{h}{2}[y_{xx}]_m^n + O(h^2) \right) = f_m^n + \delta$$

$$([y_t]_m^n + c[y_x]_m^n - f_m^n) + \frac{\tau}{2}[y_{tt}]_m^n + O(\tau^2) - c \left( \frac{h}{2}[y_{xx}]_m^n + O(h^2) \right) = \delta$$

$$\delta = \frac{\tau}{2}[y_{tt}]_m^n - \frac{ch}{2}[y_{xx}]_m^n + O(\tau^2 + h^2) = O(\tau + h)$$

Схема имеет первый порядок аппроксимации по времени и пространству

Подставим разложения

$$[y]_m^{n+1} = [y]_m^n + \tau[y_t]_m^n + \frac{\tau^2}{2}[y_{tt}]_m^n + O(\tau^3)$$

$$[y]_{m\pm 1}^n = [y]_m^n \pm h[y_x]_m^n + \frac{h^2}{2}[y_{xx}]_m^n \pm \frac{h^3}{6}[y_{xxx}]_m^n + \frac{h^4}{24}[y_{xxxx}]_m^n + O(h^5)$$

В схему с центральной разностью

$$[y_t]_m^n + \frac{\tau}{2}[y_{tt}]_m^n + O(\tau^2) + c \left( [y_x]_m^n + \frac{h^2}{6}[y_{xxx}]_m^n + O(h^4) \right) = f_m^n + \delta$$

$$([y_t]_m^n + c[y_x]_m^n - f_m^n) + \frac{\tau}{2}[y_{tt}]_m^n + O(\tau^2) + c \left( \frac{h^2}{6}[y_{xxx}]_m^n + O(h^4) \right) = \delta$$

$$\delta = \frac{\tau}{2}[y_{tt}]_m^n + \frac{ch^2}{6}[y_{xxx}]_m^n + O(\tau^2 + h^4) = O(\tau + h^2)$$

Схема имеет первый порядок аппроксимации по времени и второй по пространству

Подставим разложения

$$[y]_m^{n+1} = [y]_m^n + \tau[y_t]_m^n + \frac{\tau^2}{2}[y_{tt}]_m^n + O(\tau^3)$$

$$[y]_m^n = [y]_m^n \pm h[y_x]_m^n + \frac{h^2}{2}[y_{xx}]_m^n \pm \frac{h^3}{6}[y_{xxx}]_m^n + \frac{h^4}{24}[y_{xxxx}]_m^n + O(h^5)$$

В схему Лакса

$$[y_t]_m^n + \frac{\tau}{2}[y_{tt}]_m^n + O(\tau^2) + \frac{h^2}{2\tau}[y_{xx}]_m^n + O\left(\frac{h^4}{\tau}\right) + \\ + c\left([y_x]_m^n + \frac{h^2}{6}[y_{xxx}]_m^n + O(h^4)\right) = f_m^n + \delta$$

$$([y_t]_m^n + c[y_x]_m^n - f_m^n) + \frac{\tau}{2}[y_{tt}]_m^n + O(\tau^2) + \frac{h^2}{2\tau}[y_{xx}]_m^n + O\left(\frac{h^4}{\tau}\right) + \\ + c\left(\frac{h^2}{6}[y_{xxx}]_m^n + O(h^4)\right) = \delta$$

Для схемы Лакса

$$\delta = \frac{\tau}{2}[y_{tt}]_m^n + \frac{h^2}{2\tau}[y_{xx}]_m^n + c \frac{h^2}{6}[y_{xxx}]_m^n + O\left(\tau^2 + \frac{h^4}{\tau} + h^4\right)$$

$$\delta = O\left(\tau + \frac{h^2}{\tau} + h^2\right) = O\left(\tau + \frac{h^2}{\tau}\right)$$

Аппроксимация схемы зависит от соотношения между  $\tau$  и  $h$ . Например, если  $\tau = O(h)$ , то схема имеет первый порядок по пространству и времени, а если  $\tau = O(h^2)$ , то ошибка аппроксимации  $O(1)$ , то есть аппроксимации нет. (Есть аппроксимация *другого* уравнения)



Исследуем левый уголок на устойчивость. Из условия КФЛ можно сразу сказать, что при  $\frac{c\tau}{h} > 1$  или  $\frac{c\tau}{h} < 0$  устойчивости не будет, так как нет сходимости, а аппроксимация есть. (Иначе по теореме Рябенского аппроксимация + устойчивость = сходимость).

Чтобы производить расчеты по схеме «левый уголок» необходимы еще данные на левой границе и на начальном слое по времени

$$u_m^0 = \varphi_m$$

$$u_0^n = \psi^n$$

Перепишем схему в виде

$$u_m^{n+1} = u_m^n + \frac{c\tau}{h} (u_{m-1}^n - u_m^n) + \tau f_m^n, \quad m = \overline{1, M}$$

$$u_m^{n+1} = \left[1 - \frac{c\tau}{h}\right] u_m^n + \frac{c\tau}{h} u_{m-1}^n + \tau f_m^n, \quad m = \overline{1, M}$$

$$|u_m^{n+1}| \leq \left|1 - \frac{c\tau}{h}\right| |u_m^n| + \left|\frac{c\tau}{h}\right| |u_{m-1}^n| + \tau |f_m^n|, \quad m = \overline{1, M}$$

Вводя нормы

$$\|u^n\| = \max_{m=\overline{0, M}} |u_m^n|, \quad \|u\| = \max_{n=\overline{0, N}} \|u^n\|,$$

можно записать

$$\|u^{n+1}\| \leq \max \left\{ |u_0^{n+1}|, \left(1 - \frac{c\tau}{h}\right) \max_{m>0} |u_m^n| + \frac{c\tau}{h} \max_{m>0} |u_{m-1}^n| + \tau \|f^n\| \right\}$$

$$\|u^{n+1}\| \leq \max \left\{ |u_0^{n+1}|, \left(1 - \frac{c\tau}{h}\right) \max_{m>0} |u_m^n| + \frac{c\tau}{h} \max_{m>0} |u_{m-1}^n| + \tau \|f^n\| \right\}$$

Оценив  $\max_{m>0} |u_{m-1}^n| \leq \|u^n\|$ ,  $\max_{m>0} |u_m^n| \leq \|u^n\|$

$$\begin{aligned} \|u^{n+1}\| &\leq \max\{|u_0^{n+1}|, \|u^n\| + \tau \|f^n\|\} \leq \max\{|u_0^{n+1}|, \|u^n\|\} + \tau \|f\| \leq \\ &\leq \max\{|u_0^{n+1}|, |u_0^n|, \|u^{n-1}\|\} + 2\tau \|f\| \leq \dots \leq \max\{\|u\|, \|\varphi\|\} + T \|f\| \end{aligned}$$

Получаем

$$\|u\| \leq \|u\| + \|\varphi\| + T \|f\|$$

Это доказывает устойчивость задачи по правой части, начальным и граничным условиям.

Оказывается, если схему можно представить в виде

$$u_m^{n+1} = \sum_{\mu} \alpha_{\mu} u_{m+\mu}^n$$

причем все  $\alpha_{\mu} > 0$ , то доказательство устойчивости полностью аналогично доказательству устойчивости для явного левого уголка. Такие схемы называются монотонными. К сожалению, монотонных схем выше первого порядка аппроксимации не бывает. Запишем схему Лакса в такой форме

$$u_m^{n+1} = \left( \frac{1}{2} + \frac{c\tau}{2h} \right) u_{m-1}^n + \left( \frac{1}{2} - \frac{c\tau}{2h} \right) u_{m+1}^n$$

Схема устойчива при  $\left| \frac{c\tau}{h} \right| \leq 1$ , а при нарушении этого условия неустойчива по условию КФЛ.

Доказательство устойчивости по определению бывает довольно сложной задачей. В этой случае можно воспользоваться спектральным признаком устойчивости. Хотя он и не является строгим критерием, зачастую он дает правильный результат. Спектральным признаком можно исследовать только *задачу Коши*, то есть задачу без граничных условий, только с начальными. Эта задача исследуется на устойчивость только по начальным данным, возмущение правой части всегда полагается равным 0. Из всех возможных возмущений начальных условий изучаются только возмущения вида  $u_m^0 = e^{i\alpha m}$ . Поскольку любую функцию можно представить в виде интеграла Фурье, такое сужение допустимо.

# Численное решение УМФ

## Спектральный признак для схемы $O(\tau + h^2)$

Рассмотрим задачу

$$\frac{u_m^{n+1} - u_m^n}{\tau} + c \frac{u_{m+1}^n - u_{m-1}^n}{2h} = 0$$
$$u_m^0 = e^{i\alpha m}$$

Найдем  $u_m^1$

$$u_m^1 = u_m^0 + \frac{c\tau}{h} \frac{u_{m+1}^0 - u_{m-1}^0}{2} = u_m^0 \left( 1 + i \frac{c\tau}{h} \sin \alpha \right)$$

Аналогично,

$$u_m^n = \left( 1 + i \frac{c\tau}{h} \sin \alpha \right)^n e^{i\alpha m}$$

Решение такой задачи всегда можно искать в виде

$$u_m^n = \lambda^n e^{i\alpha m}.$$

Найдем норму  $u_m^n$

$$\|u\| = \max_m \max_{n=0, N} |\lambda^n e^{i\alpha m}| = \max_{n=0, N} |\lambda^n| = \max(1, |\lambda|^N)$$

- Если  $|\lambda| \leq 1$ , то решение ограничено константой ( $C = 1$ ), умноженной на возмущение начальных условий, то есть задача устойчива.
- Если  $|\lambda| = 1 + D\tau$ , то решение ограничено константой ( $C = (1 + D\tau)^{T/\tau} \leq e^{DT}$ ), то есть задача тоже устойчива. Однако, чем больше константа  $D$ , тем сильнее зависимость возмущения решения от возмущения начальных условий, тем менее устойчива задача.
- Если  $\frac{|\lambda|-1}{\tau} \rightarrow \infty$ , то задача неустойчива.

Довольно часто задача полагается неустойчивой при  $|\lambda| > 1$ , хотя это не совсем строго.

# Численное решение УМФ

## Спектральный признак для схемы $O(\tau + h^2)$

Рассмотрим схему с

$$\lambda = 1 + i \frac{c\tau}{h} \sin \alpha$$

$$|\lambda| = \sqrt{1 + \frac{c^2\tau^2}{h^2} \sin^2 \alpha} > 1$$

При  $\tau = O(h)$ ,  $\frac{|\lambda|-1}{\tau} = O\left(\frac{1}{\tau}\right) \rightarrow \infty$ . Схема неустойчива.

При  $\tau = O(h^2)$ ,  $|\lambda| = \sqrt{1 + c\tau \sin^2 \alpha} \approx 1 + \frac{c \sin^2 \alpha}{2} \tau \leq 1 + \frac{c}{2} \tau$ .

Схема устойчива с константой  $C = e^{\frac{cT}{2}}$



Спасибо за внимание!

[tsybulinhome@gmail.com](mailto:tsybulinhome@gmail.com)